

## (665) 静的三点曲げによる脆性き裂伝播停止靶性試験法の検討

新日鐵(株) 製品研 芝崎 誠  
萩原行人  
日本鋳鍛鋼(株) ○宮本志郎

1. 緒言 原子炉圧力容器用鋼には、圧力容器の安全性から良好な脆性き裂伝播停止靶性が要求される。従来、同特性は二重引張試験やESSO試験のような大型試験によって評価されてきた。また、近年米国ではMRLが開発したコンパクト試験が行われるようになってきた。著者らは、日本溶接協会原子力研究委員会OTS小委員会の共同研究の一環として、さらに簡便な小型試験法を検討したので報告する。

## 2. 実験方法 (1)供試材 板厚290mmのA508 Cl.3鋼

(2)試験片 1/4tから採取したDWT型試験片に36mmの機械切欠を加工し、さらに脆性き裂の発生を容易にするため低温圧縮予荷重<sup>2)</sup>によって約2mmの予き裂を挿入した。試験片形状を図1に示す。

(3)実験方法 静的三点曲げ試験によって脆性き裂を発生・伝播・停止させた。またき裂停止後、荷重除荷時の荷重一変位曲線からコンプライアンス( $\lambda$ )を測定した。

3. 解析方法  $\lambda$ の弾性近似解はTada<sup>3)</sup>によって次のように求められている。

$$\lambda(R) = \frac{3S^2}{2E'BW^2} \left[ \left( \frac{R}{1-R} \right)^2 (5.58 - 19.57R + 36.82R^2 - 34.94R^3 + 12.77R^4) + \frac{S}{6W} \right] \quad (1)$$

ここで、 $R = A/At$ ：脆性破面率、B：試験片厚、W：試験片幅、S：スパンしかし、実際の破面はシアリップを伴っているため、図2に示すようにコンプライアンスは(1)式よりも小さく $\lambda(R')$ となる。

$$R' = 1.067 R^2 - 0.867 R + 0.677 \quad (2)$$

脆性き裂の伝播中は定変位条件が成立すると仮定すれば、脆性き裂伝播停止靶性( $K_a$ )は次式で与えられる。

$$K_a = \frac{\rho_i \lambda(R_i)}{\lambda(R'_i)} \left[ \frac{3}{4B^2 W^3} \right]^{\frac{1}{2}} \left[ \left\{ \frac{2R'_i}{(1-R'_i)^3} (5.58 - 19.57R'_i + 36.82R'^2 - 34.94R'^3 + 12.77R'^4) \right. \right. \\ \left. \left. - \left( \frac{R'_i}{1-R'_i} \right)^2 (19.57 - 73.64R'_i + 104.82R'^2 - 51.08R'^3) \right\} (2.134R_i - 0.867) \right]^{\frac{1}{2}} \quad (3)$$

4. 実験結果および結言 本実験による $K_a$ の温度依存性の一例をOTS小委員会でのMRLコンパクト試験結果と併せて図3に示す。同図より以下の事が判る。

(1)両試験結果を比較すると、本試験の $K_a$ は低めの値を与えており、同様な温度依存性を示している。

(2)本試験では、同一温度での $K_a$ のばらつきが少ない。

(3)今後さらに検証する必要があるが、材料のき裂伝播停止特性を簡便に評価する方法として、本試験法は有望であると考えられる。

## 参考文献

- 1) OT S成果報告書、日本溶接協会、1982 2) 阪野、造船学会論文集第141号、1977 3) H. Tada, Handbook, 1973

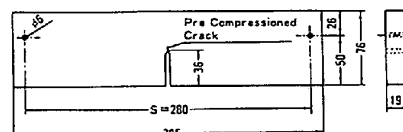
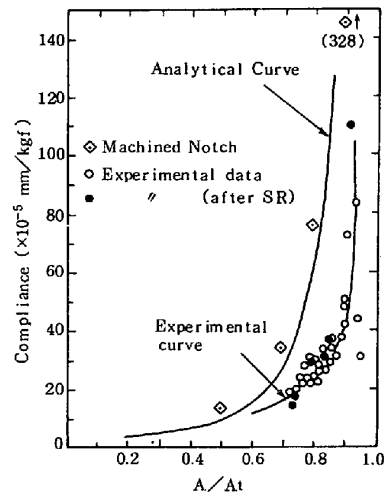
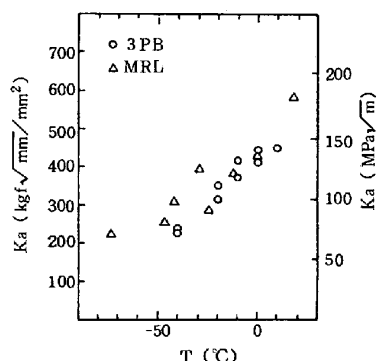


Fig.1 Dimension of Test Specimen

Fig.2 Relation between  $\lambda$  and  $A/At$ Fig.3 Temperature Dependence of  $K_a$